

1918.

ИЗВЕСТИЯ

№ 86.

ГЛАВНОЙ РОССИЙСКОЙ АСТРОНОМИЧЕСКОЙ ОБСЕРВАТОРИИ

Том VIII, 4.

BULLETIN

DE L'OBSERVATOIRE CENTRAL DE RUSSIE A POULKOV0

Vol. VIII, 4.

Observations photométriques de l'étoile variable XZ Cygni.

J. Balanowsky.

Cette étoile variable était observée à la succursale de l'observatoire Central de Russie à Nicolaëff, à l'aide du photomètre Zöllner vissé au réfracteur de six pouces. Le procédé d'observations était le même que pour l'étoile *TT Aurigae* et *TV Cassiopeiae* ¹⁾, et consistait en la mesure de la différence entre l'éclat de la variable et celui de l'étoile de comparaison, qui dans notre cas était $BD + 56^{\circ} 2259 (9.3)$.

Les observations furent réduites à une époque au moyen de la formule qui donne les moments héliocentriques pour l'éclat maximale:

$$\text{Maximum} = 1915 \text{ Sept. } 26^d 8^h 56^m \text{ t. m. Gr. } + 0^d 11^h 11^m 53.06 \times E$$

ou, en jours juliens:

$$\text{Maximum} = 2420767.3721 \text{ t. m. Gr. } + 0.4665861 \times E$$

Cette formule a été déduite d'après deux maxima observés par nous et représente les observations de M. S. Enebo ²⁾ et de M. M. Martin et Plummer ³⁾ ainsi:

$$\text{S. Enebo:} \quad \text{Max.} = 2417201.25417 \text{ t. m. Gr. } , O - C = -0.0003 = -0.4$$

$$\text{Martin et Plummer:} \quad \text{Max.} = 2420062.3587 \text{ „ „ „ } , O - C = +0.0018 = +2.6$$

Dans le tableau I sont donnés: le moment de l'observation en temps moyen de Poulkovo (t), l'intervalle de temps séparant l'observation du maximum précédent (τ) et la différence de l'éclat du XZ Cygni et de l'étoile de comparaison (Δm).

¹⁾ Mitteilungen der Nicolai-Hauptsternwarte zu Pulkowo № 57 et Bull. de l'observatoire Central Nicolas à Poulkovo № 69.

²⁾ A. N. 4094.

³⁾ M. N. Vol. 74, № 3.

Tableau I.

N ^o	Date	<i>t</i>	τ	Δm	N ^o	Date	<i>t</i>	τ	Δm
1	1915	10 ^h 44 ^m	0.4468	—0.39	51	Juillet 28,	11 ^h 31 ^m	0.2145	+0.06
2	Juillet 18	48	.4496	— .50	52		35	.2173	+ .08
3		54	.4538	— .79	53		40	.2208	+ .08
4		11 0	.4579	— .60	54		44	.2236	+ .14
5		6	.4621	— .79	55	Août 30	9 42	.0113	— .82
6	Juillet 21	10 1	0.2177	—0.18	56		9 46	0.0140	— .80
7		6	.2211	— .15	57		51	.0175	— .73
8		11	.2246	— .17	58		55	.0203	— .78
9		16	.2281	— .15	59		10 0	.0237	— .81
10		21	.2315	— .12	60		12	.0321	— .74
11		10 32	0.2392	—0.06	61		10 16	.0349	—0.69
12		38	.2433	— .11	62		20	.0376	— .71
13		44	.2475	+ .06	63		24	.0404	— .63
14		49	.2510	+ .05	64		28	.0432	— .54
15		55	.2551	— .01	65		32	.0460	— .55
16		11 1	0.2593	—0.02	66		10 46	0.0557	—0.38
17	Juillet 25	10 15	.4279	— .15	67		50	.0585	— .46
18		20	.4313	— .23	68		54	.0613	— .38
19		24	.4341	— .23	69		58	.0640	— .38
20		28	.4369	— .26	70		11 2	.0668	— .25
21		10 32	0.4397	—0.38	71	Sept. 26	11 6	0.0696	—0.41
22		37	.4432	— .45	72		9 52	.4228	— .21
23		45	.4487	— .67	73		56	.4256	— .28
24		50	.4522	— .74	74		10 0	.4283	— .38
25		55	.4556	— .91	75		4	.4311	— .36
26		11 1	0.4598	—1.00	76		10 9	0.4346	—0.37
27	Juillet 27	6	.4633	—1.02	77		13	.4374	— .56
28		19	.0057	—1.08	78		17	.4402	— .60
29		9 34	.0665	—0.42	79		21	.4429	— .64
30		38	.0693	— .47	80		25	.4457	— .68
31		9 44	0.0734	—0.35	81		10 29	0.4485	—0.62
32		48	.0762	— .42	82		34	.4520	— .71
33		53	.0797	— .44	83		46	.4603	— .81
34		10 3	.0866	— .42	84		50	.4631	— .75
35		7	.0894	— .46	85		54	.4659	— .89
36		10 12	0.0929	—0.37	86		10 58	0.0020	—0.74
37		16	.0957	— .40	87		11 2	.0048	— .81
38		21	.0991	— .28	88		6	.0076	— .75
39		26	1026	— .28	89		18	.0159	— .83
40		38	.1109	— .38	90		22	.0187	— .74
41		10 44	0.1151	—0.39	91		11 26	0.0215	—0.69
42		49	.1186	— .25	92		30	.0243	— .64
43		54	.1221	— .26	93		34	.0270	— .68
44		59	.1255	— .27	94		38	.0298	— .64
45		12 3	.1686	— .11	95	Sept. 27	7 0	.3702	+0.05
46		12 10	0.1734	—0.10	96		7 4	0.3729	+0.09
47		15	.1769	— .18	97		8	.3757	+ .08
48		20	.1804	— .06	98		13	.3792	+ .09
49		25	.1839	— .10	99		17	.3820	+ .10
50	Juillet 28	11 27	.2118	+ .06	100		27	.3889	+ .08

N ^o	Date	<i>t</i>	τ	Δm	N ^o	Date	<i>t</i>	τ	Δm
101	Sept. 27	7 ^h 31 ^m	0. ^d 3917	—0. ^m 06	146	Juin 10	10 ^h 51 ^m	0. ^d 4410	—0. ^m 60
102		35	.3945	+ .04	147		54	.4431	— .64
103		38	.3965	+ .11	148		11 0	.4472	— .68
104		42	.3993	— .03	149		5	.4507	— .74
105		46	.4021	+ .03	150		12	.4556	— .78
106		7 57	0.4097	—0.01	151		11 16	0.4583	—0.84
107		8 1	.4125	+0.01	152		20	.4611	— .86
108		5	.4153	— .20	153		24	.4639	— .88
109		9	.4181	— .04	154		30	.0015	— .99
110		13	.4209	— .18	155		37	.0063	— .91
111	Oct. 14	8 17	0.4236	— .21	156	Juillet 9	11 41	0.0091	—0.80
112		10 5	.2342	— .06	157		46	.0126	— .76
113		10	.2377	+ .10	158		51	.0160	— .74
114		15	.2412	+ .06	159		10 18	.0237	— .77
115		20	.2446	+ .08	160		22	.0258	— .59
116		10 26	0.2488	+0.07	161		10 25	0.0279	—0.052
117		31	.2523	— .05	162		28	.0300	— .50
118		35	.2551	+ .15	163		31	.0328	— .58
119		41	.2592	+ .23	164		38	.0376	— .61
120		46	.2627	+ .14	165		42	.0404	— .46
121	1916 Mai 4	10 51	0.2662	+0.05	166		10 45	0.0425	—0.47
122		57	.2703	+ .13	167		50	.0460	— .45
123		11 23	.3221	+ .06	168		54	.0488	— .43
124		28	.3256	+ .09	169		59	.0523	— .42
125		33	.3291	+ .03	170		11 5	.0564	— .44
126	Juin 8	11 39	0.3332	+0.10	171	Juillet 31	11 9	0.0592	—0.49
127		44	.3367	+ .15	172		13	.0620	— .61
128		9 52	.2663	+ .06	173		17	.0648	— .35
129		55	.2684	+ .19	174		21	.0676	— .34
130		59	.2712	+ .02	175		9 55	.0786	— .30
131	Juin 8	10 3	0.2739	—0.11	176		10 0	0.0818	—0.31
132		8	.2774	+ .09	177		5	.0853	— .22
133		12	.2802	+ .03	178		10	.0888	— .23
134		20	.2858	+ .06	179		15	.0923	— .26
135		23	.2878	+ .04	180		23	.0978	— .31
136	Juin 10	10 14	0.4153	—0.19	181		10 28	0.1013	—0.19
137		18	.4181	— .29	182		34	.1055	— .28
138		21	.4201	— .25	183		39	.1089	— .25
139		24	.4222	— .21	184		45	.1130	— .07
140		27	.4243	— .16					
141		10 32	0.4278	—0.27					
142		36	.4306	— .22					
143		40	.4333	— .35					
144		43	.4354	— .60					
145		47	.4382	— .61					

Disposant les observations suivant l'ordre croissant de τ , et prenant la moyenne de plusieurs (5 à 8) observations voisines, nous obtenons les éclats normaux suivants; n représente ici le nombre d'observations qui fait partie du lieu normal.

L'écart moyen entre une observation et l'éclat normal correspondant est de $\pm 0''.064$, ce qui donne pour l'erreur probable d'une observation en moyenne: $\pm 0''.054$. L'éclat nor-

mal est basé en moyenne sur 5.7 observations, ce qui donne pour l'erreur probable de la grandeur Δm dans le tableau II un valeur proche de ± 0.02 .

Tableau II.

Nº	n	τ	Δm	Nº	n	τ	Δm
1	6	0.0045	-0.88	17	5	0.2391	-0.01
2	6	.0132	-0.79	18	5	.2488	+0.04
3	7	.0214	-0.74	19	5	.2583	+0.10
4	7	.0293	-0.61	20	5	.2685	+0.09
5	5	.0381	-0.62	21	5	.2810	+0.02
6	5	.0453	-0.49	22	5	.3220	+0.09
7	5	.0544	-0.44	23	5	.3760	+0.08
8	7	.0644	-0.39	24	5	.3942	+0.03
9	5	.0736	-0.39	25	5	.4110	-0.07
10	6	.0852	-0.35	26	8	.4214	-0.19
11	5	.0956	-0.32	27	7	.4289	-0.27
12	5	.1058	-0.28	28	8	.4362	-0.42
13	5	.1189	-0.25	29	7	.4433	-0.57
14	5	.1766	-0.11	30	8	.4503	-0.68
15	5	.2164	+0.02	31	8	.4589	-0.82
16	5	.2258	-0.09	32	7	.4663	-0.87

L'épure 1 représente la courbe de l'éclat de *XZ Cygni*, construite d'après les données du tableau II. Les observations de cette variable ont été abandonnées par suite de mon transfert à Poulkovo. Aussi les parties de la courbe correspondant aux phases 0.12—0.18 et 0.32—0.38 n'ont elles pas été observées. En général, la courbe présente l'aspect typique pour les étoiles du type „cluster“ ou „Antalgol“. Les solutions de continuité de la courbe correspondent aux phases 0.028, 0.075, 0.226, 0.280, presque à coup sur réelles; elles se présentent en effet sur la courbe de M. M. Martin et Plummer.

Le tableau III donne la comparaison entre nos éclats normaux et cette dernière courbe. Comme cette courbe est construite d'après les observations photographiques, on peut considérer les différences obtenues comme les colour-indices de *XZ Cygni*. Elles sont désignées par c_i ; de plus on a supposé, que le colour-index est nul pour le maximum ¹⁾:

La courbe de variation du colour-index est donnée sur l'épure 2; l'axe des abscisses correspond aux phases, l'axe des ordonnées à c_i .

¹⁾ Cette supposition est voisine de la réalité; en effet les observations de M. Schapley montrent, que le spectre de *XZ Cygni* varie dans les limites A0—A6 (Ap. I. Vol. 44, № 5).

J. Balanowsky. Observations photométriques
de l'étoile variable XZ Cygni.

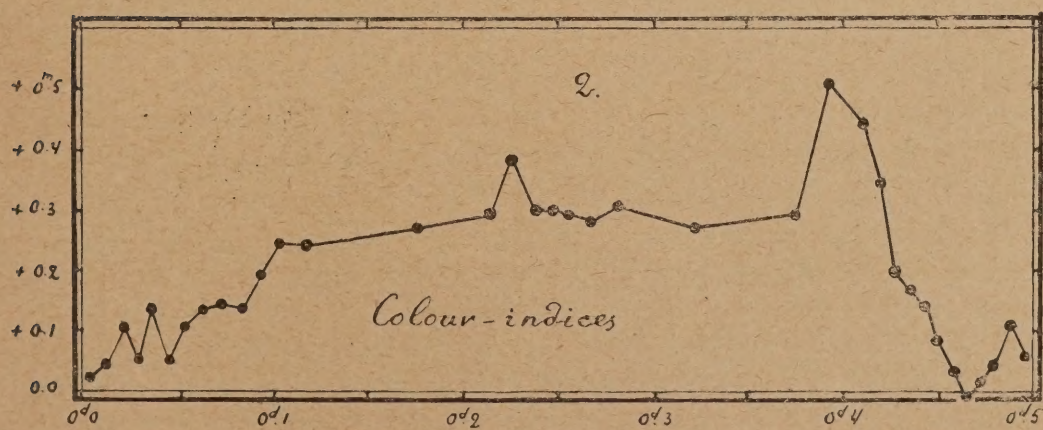
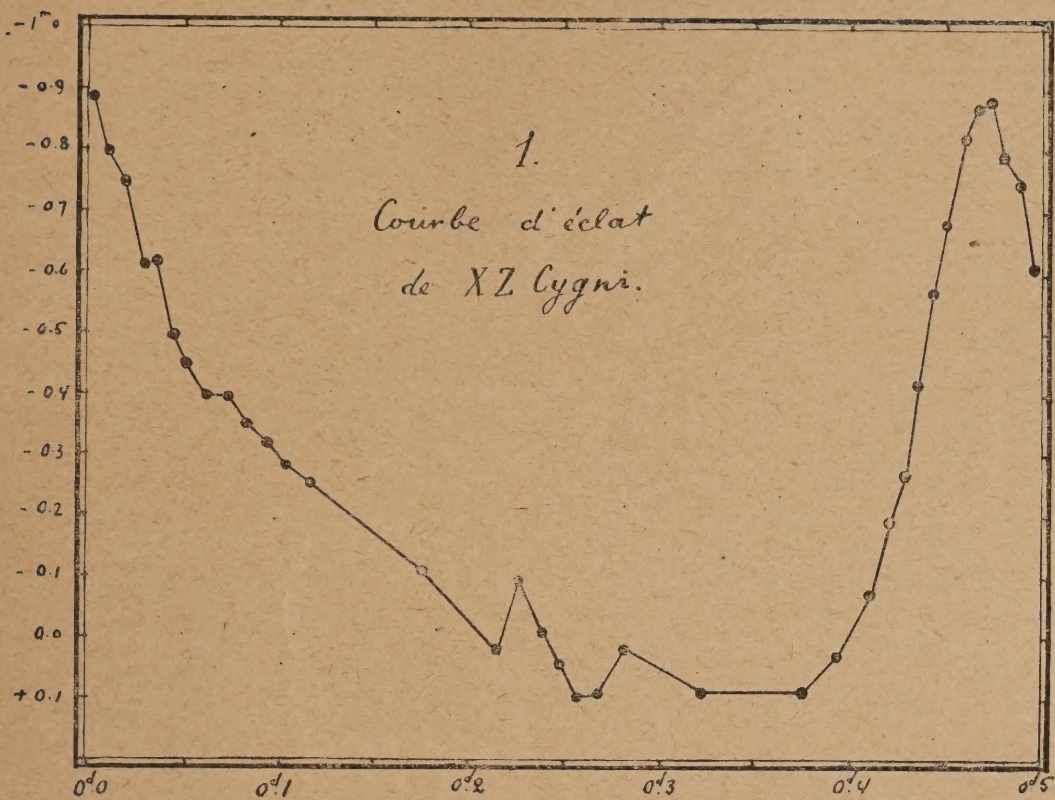


Tableau III.

N ^o de l'éclat normal	c_i	N ^o de l'éclat normal	c_i
1	+0 ^m .02	17	+0 ^m .30
2	4	18	30
3	11	19	29
4	6	20	28
5	13	21	31
6	5	22	27
7	11	23	29
8	13	24	51
9	14	25	44
10	13	26	34
11	19	27	20
12	24	28	17
13	24	29	14
14	27	30	8
15	29	31	+ 3
16	38	32	— 1

Si on exclut les c_i correspondant aux 24^e, 25^e, 26^e lieux normaux, on est amené à tirer la curieuse conclusion suivante: le colour-index, après avoir atteint sa valeur maxima 0.20 après le maximum, reste constant jusqu'au début de l'accroissement d'éclat. Il serait intéressant de trouver la relation entre ce fait et la variation du type spectral de XZ Cygni. La plus grande valeur de c_i en moyenne atteint +0^m.30 (en négligeant les trois lieux normaux désignés), ce qui concorde complètement avec l'aspect de son spectre auprès du maximum.

En considérant les séries différentes des observations faites près du maximum, et en déterminant les éclats maximales de la variable, nous trouvons:

1915 Juillet 25	$\Delta m = -1.05$
1915 Aout 30	$-0.8 \pm$
1915 Sept. 26	-0.80
1916 Juillet 10	-0.90

Les variations de ces nombres dépassent de beaucoup les erreurs d'observation possibles; on peut les attribuer soit à une variabilité de l'étoile de comparaison d'amplitude 0^m.2 environ, soit à une variation réelle de l'éclat maximum de XZ Cygni. La dernière supposition peut être considérée comme très probable, si l'on se souvient, que le même phénomène a déjà été remarqué pour d'autres étoiles variables du type „cluster“.

Il n'y a rien d'in vraisemblable non plus dans la supposition, que la courbe de variation d'éclat éprouve des oscillations dans toutes ses parties, d'une période à l'autre. Ce phénomène pourrait expliquer l'écart important de plusieurs colour-indices de leur marche habituelle, fait déjà remarqué par nous.

Changement d'éclat de l'étoile B. D. 32^o1324 d'après les observations de A. Soloviev en 1916—1917.

Par S. M. Selivanoff.

Le 13 avril 1916 j'ai reçu une lettre de M^r A. Soloviev de Koulebaki (province de Nijni-Novgorod), dans laquelle il communiquait ses observations d'un changement d'éclat indubitable de l'une des étoiles de 6^e gr. dans le Bouvier, qui servait aux comparaisons d'éclat avec la variable *RT Aurigae*.

Dans son observation quotidienne du 5 avril 1916, concernant l'éclat de cette variable, à l'aide d'une jumelle de théâtre grossissant trois fois, A. Soloviev ne trouva pas l'une des étoiles de comparaison avec la variable *RT*. Cette observation, faite à 8^h32^m t. m. Pulkovo, ne laissa à l'observateur aucun doute sur l'existence d'une variable inconnue à lui jusqu'alors. Après deux nouvelles observations faites à 8^h57^m et 10^h32^m A. Soloviev conclut que l'étoile passait par son minimum et rétablissait rapidement son éclat ordinaire. Rien que d'après ces 3 observations on pouvait croire, que l'on avait affaire à une étoile à minimum très court, du type d'Algol. Cependant on ne pouvait déterminer en se basant sur les observations d'une seule nuit, ni la période, ni l'amplitude de l'étoile; aussi dus-je remettre la publication de la découverte jusqu'au moment de la réception d'une plus ample série d'observations. Il apparut d'après la carte schématique du ciel et des coordonnées, que les observations concernaient l'étoile BD.32^o1324.

Dans le courant des années 1916 et 1917 nous avons reçu encore 48 observations. Elles sont données dans le tableau ci-dessous, ainsi que quelques observations antérieures. Toutes les observations sont faites selon le procédé d'Argelander. Notations habituelles; les degrés sont donnés dans la table adjointe plus bas, les grandeurs stellaires sont rapportées aux grandeurs photométriques de Harvard; l'âge est compté en jours à partir du minimum le plus voisin.

Table I.

№	1916	t. m. Poul.	les observations					éclat		âge
								degré	magn.	
a	III	24	8 ^h 6 ^m	A1RT	RT2v		RT4c	—	—	—
b	"	26	8 37	A4RT	RTv			—	—	—
c	"	"	10 4	A3—4RT	v1RT			—	—	—
d	"	29	7 42	A2RT	RTv		RT4c	—	—	—
e	"	30	8 10	A2RT	RT2v		RT4.5c	—	—	—
f	IV	4	8 6	A1RT	RT3—4v		RT6c	—	—	—
g	"	5	8 32	A3—4RT			RT4c	v < c	0.00	6.35 0 ^d .00
h	"	"	8 57				vc		0.60	6.28 0.02
i	"	"	10 32				v3—4c		4.10	5.80 0.08
1	"	6	8 4			v2d			5.84	5.56 0.72
2	"	"	10 32			v2d			5.84	5.56 0.82
3	"	8	9 17			v2d			5.84	5.56 0.25
4	"	22	9 7			v2d	v3—4c		4.98	5.68 0.36
5	"	24	9 34			v1d	v2c		3.72	5.86 1.12
6	V	3	9 42			vd			3.84	5.83 0.04
7	IX	25	11 27	A3v			v3—4c		3.10	5.93 1.23
8	"	27	9 47	A3v		vd	v3—4c		3.94	5.82 0.65
9	"	"	12 12			vd	v3—4c	v3—4k	3.82	5.56 0.75
10	X	1	11 17	A3v		v2d	v3c		4.72	5.72 0.93
11	"	2	11 12	A4v			v3c		3.60	5.87 0.67
12	"	4	11 13	A4v			v3c		3.60	5.87 0.16
13	"	19	10 47	ART	RT3—4v (—	— 1.24
14	"	20	10 57	A4.5RT;	RTv				—	— 0.99
15	"	22	11 50	ART;	RT3—4v				—	— 0.46
16	"	24	10 7			d1v	v1—2c		2.47	6.02 1.16
17	"	25	10 12			v2d	v4c		5.22	5.65 0.91
18	"	26	10 37	A2RT	RT3v	vd	v3c		3.72	5.86 0.66
19	"	27	10 37			vd			3.84	5.83 0.40
20	"	28	10 17			v2d	v3—4c		4.98	5.68 0.13
21	"	29	9 7			d2v	v2.5c		2.47	6.02 1.08
22	"	"	11 12			d2v	v3c		2.72	6.00 1.17
23	"	30	10 52			vd	v4—5c		4.49	5.75 0.98
24	"	31	9 42			v1d	v5c		5.22	5.65 0.57
25	"	"	11 23			vd	v5c	v3,5k	4.31	5.77 0.64
26	XI	3	10 42			d3v		v1,5k	1.17	6.19 1.10
27	"	5	10 12			v1d	v4c	v4k	4.50	5.74 0.60
28	"	27	8 57		f2v	vd	v4c		4.26	5.78 1.04
29	XII	16	12 42		f3v	vd	v3c		3.60	5.87 1.25
30	"	17	6 22		f2v	vd	v3—4c		4.10	5.80 0.75
31	"	"	11 12		f1v	v1d	v3c	v4k	4.58	5.73 0.95
32	"	19	9 2		f1v	v3d	v5c	v4k	5.45	5.61 0.34
33	I	25	7 32	A4v		f2v	v2d	v5—6c	5.43	5.61 0.67
34	"	26	6 37	A3RT	RT1v	f1v	v3d	v5c	6.26	5.51 0.38
35	"	28	10 42			f1v	v3d	v5c	5.93	5.55 0.03
36	II	16	12 12				v1d		4.84	5.70 0.16
37	"	19	9 42	A3RT	RT3v	f1v	vd	v4c	4.45	5.75 0.53
38	"	20	6 52	A4v		f2v	vd	v5c	4.70	5.72 0.15
39	"	"	11 32				v3d	v5—6k	6.44	5.48 0.34
40	"	21	10 47	A3RT	RT3v		vd	v6k(?)	3.83	5.83 0.05
41	"	24	7 12					v5—6k	5.50	5.60 0.38
42	"	"	9 12	A5v		v2d		v5—6k	5.67	5.59 0.46
43	III	13	6 50	A3RT	RT3v	f1v	v2d	v6k	5.73	5.58 0.96
44	"	"	11 22	A3RT	RT5v	f3—4v	d3v	v3—4k	2.24	6.05 1.16
45	"	18	9 47	A5RT	RT2v	f1—2v		v5,5k	5.23	5.64 1.03
46	"	20	7 27	A3—4RT	RT2,5v	f1v	v1d	v6k	5.29	5.63 0.42
47	"	24	10 17	A3RT	RT3v	f1v	v2d	v4c	5.47	5.60 0.75
48	IV	14	8 50	A4RT	RT3v				—	— 0.23

Dans les réductions de ces observations, il fallut rejeter l'étoile de comparaison *A*, comme trop brillante (gr. 5.05) et par ce fait falsifiant les résultats. L'échelle fut obtenue à l'aide d'équations de condition exprimant les différences moyennes des éclats des étoiles de comparaison (voir mon article dans le journal „Bulletin de la Société Russe des Amis de l'étude de l'Univers“, avril 1917, page 104). L'éclat de l'étoile *k*, la plus faible, est égalé à 0; les poids des équations sont égaux à $\frac{1}{\varepsilon^2}$, où ε est l'erreur moyenne des membres de droite des équations de condition. On obtient ainsi le système suivant d'équations normales:

$$\begin{aligned} 555f - 231d - 187c &= 2547.6 \\ -231f + 637d - 252c &= 819.7 \\ -187f - 252d + 539c &= -1837.1, \end{aligned}$$

la résolution des quelles donne l'échelle suivante des étoiles de comparaison

$$\begin{aligned} k &= 0.00 & d &= 3.84 \\ c &= 0.60 & f &= 6.36. \end{aligned}$$

Comme on le voit d'après la carte-schéma donnée par A. Soloviev, les étoiles indiquées par les initiales déjà nommées correspondent aux étoiles suivantes.

Table II.

Not. de Solov.	Notat. habituelle	<i>A R</i> (1875.0)	δ (1875.0)	éclat degrés	éclat gr. stell.	éclat gr. stell.
<i>k</i>	BD 33° 1356	6 ^h 25 ^m 30 ^s .65	+ 33° 6' 49 ^a .1	0.00	6.38	6.35
<i>c</i>	BD 29° 1190	6 13 13.23	+ 29 35 40.7	0.60	6.27	6.28
<i>d</i> *)	BD 32° 1414	6 41 32.56	+ 32 44 45.8	3.84	5.76	5.83
<i>f</i>	BD 29° 1293	6 30 27.51	+ 29 5 19.9	6.36	5.54	5.49

La première colonne contient la notation de A. Soloviev, la 2-e la notation habituelle Bonner Durchmust.; la 3-e et la 4-e les coordonnées du catalogue de la Société astronomique, la 5-e les grandeurs en degrés de M. Soloviev, la 6-e l'éclat d'après Harv. Revis. Phot., la 7-e l'éclat des degrés de A. Soloviev exprimé en grandeur de la colonne précédente.

Parmi les observations de A. Soloviev nous en rencontrons 4, où l'éclat de l'étoile est suffisamment au dessous de la moyenne, pour qu'on puisse le considérer comme un minimum.

Les époques sont les suivantes:

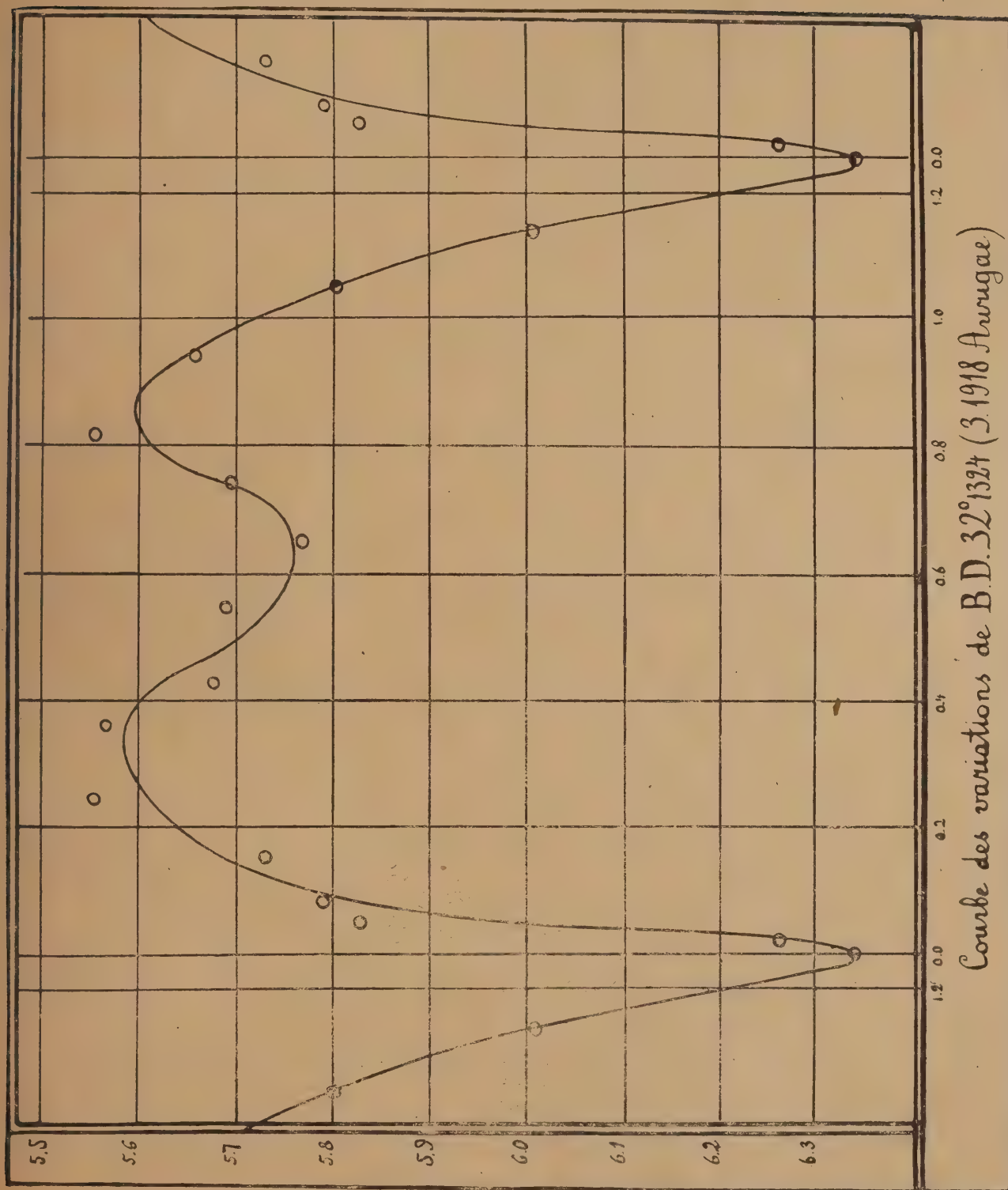
$$\begin{aligned} 1916 \text{ X } 24 \text{ } 10^h 7^m &= 2421161.4214 \text{ J.D. } \text{ t. m. Poulkovo} \\ 1916 \text{ X } 29 \text{ } 10 \text{ } 10 &= 2421166.4235 \text{ J.D. } \text{ " " " } \\ 1916 \text{ XI } 3 \text{ } 10 \text{ } 42 &= 2421171.4458 \text{ J.D. } \text{ " " " } \\ 1917 \text{ III } 13 \text{ } 11 \text{ } 22 &= 2421301.4736 \text{ J.D. } \text{ " " " } \end{aligned}$$

En leur ajoutant l'époque de la première observation

$$1916 \text{ IV } 5 \text{ } 8 \text{ } 32 = 2420959.3556 \text{ J.D. } \text{ " " Poulkovo;}$$

*) L'étoile BD 32° 1414 d'après A. Bemporad est variable 5.83—6.30, Astr. Nachr. 191.151.

S. M. Selivanoff. Changement d'éclat de l'étoile B. D. 32° 1324
d'après les observations de A. Soloviev en 1916—1917



on obtient 5 points correspondant au minimum d'éclat de *B.D.* 32°1324, qui donnent une période de 5.03 jours. Cependant la période fut en réalité trouvée égale au quart de la période indiquée.

En janvier 1918 Schwab à Ilmenau découvrit indépendamment la variabilité de *B.D.* 32°1324 et d'après les observations de 3 minima détermina les éléments suivants de cette étoile, qui reçut le nom de 3 1918 Aurigae. (Astr. Nachr. 1918 № 4928).

Min. 1918 29 Janvier $8^h 43^m.7 = 2421623.3633$ *J.D.* + $1^d.2624E$ t. m. Greenw.

Ce sont ces éléments, qui m'ont servi pour continuer l'étude des observations de A. Soloviev.

L'époque de Schwab est, en t. m. Poulkovo:

$$T_1 = \text{Min. 1918 Janv. 29 } 10^h 45^m.0 = 2421623.4479 \text{ } J.D.$$

Pour rapporter l'époque de A. Soloviev au centre du Soleil, on a les coordonnées suivantes de *B.D.* 32°1324

$$\left. \begin{array}{l} AR = -6^h 26^m.2 \\ \delta = +32^\circ 14' \end{array} \right\} 1917.0$$

d'où

$$\left. \begin{array}{l} \lambda = 95^\circ 36' \\ \beta = +8^\circ 55' \end{array} \right\} 1917.0,$$

ce qui donne l'époque rapportée:

$$T_2 = \text{Min 1916 IV 5 } 8^h 30^m.7 = 2420959.3547 \text{ } J.D., \text{ d'où l'on a}$$

$$T_1 - T_2 = 664^d.0932.$$

En prenant la période de Schwab de $1^d.2624$ comme une première approximation, on trouve dans l'intervalle $T_1 - T_2$ 526 périodes, ce qui donne $P = 1^d.26253 = 1^d 6^h 18^m 3^s 0$. En calculant, d'après cette période et l'époque de Soloviev T_2 , l'éphéméride de l'étoile, on trouve l'âge de chaque observation, donné dans la dernière colonne de la table I. En classant les observations d'après leur âge, on obtient le tableau suivant:

Table III.

N°	âge	éclat degrés	N°	âge	éclat degrés	N°	âge	éclat degrés
g	0.00	0.00	19	0.40	3.84	2	0.82	5.84
h	0.02	0.60	46	0.42	5.29	17	0.91	5.22
35	0.03	5.93	42	0.46	5.67	10	0.93	4.72
40	0.05	3.83	37	0.53	4.45	31	0.95	4.58
i	0.08	4.10	24	0.57	5.22	43	0.96	5.73
20	0.13	4.98	27	0.60	4.50	45	1.03	5.23
38	0.15	4.70	25	0.64	4.31	28	1.04	4.26
36	0.16	4.84	8	0.65	3.94	21	1.08	2.47
12	0.16	3.60	18	0.66	3.72	26	1.10	1.17
3	0.25	5.84	11	0.67	3.60	5	1.12	3.72
39	0.34	6.44	33	0.67	5.43	16	1.16	2.47
32	0.34	5.45	1	0.72	5.84	44	1.16	2.24
4	0.36	4.98	9	0.75	3.82	22	1.17	2.72
34	0.38	6.26	30	0.75	4.10	7	1.23	3.10
41	0.38	5.50	47	0.75	5.47	29	1.25	3.60

En réunissant pour chaque intervalle de 0.1 jour les points en positions normales, c. à d. en prenant pour cet intervalle les moyennes arithmétiques de l'éclat et du temps; en mettant d'ailleurs de côté les points distants de ± 2 heures du minimum ¹⁾ (car nous devons supposer de rapides changements d'éclat) nous obtenons 15 positions normales pour la construction de la courbe.

Table IV.

N ^o	âge	éclat	gr. stell.	poids
1	0.00	0.00	6.35	1
2	0.02	0.60	6.28	1
3	0.05	3.84	5.83	1
4	0.08	4.10	5.80	1
5	0.15	4.53	5.74	4
6	0.25	5.84	5.56	1
7	0.36	5.75	5.58	5
8	0.43	4.93	5.69	3
9	0.55	4.83	5.70	2
10	0.65	4.25	5.78	6
11	0.74	4.81	5.70	4
12	0.82	5.84	5.56	1
13	0.94	5.06	5.67	4
14	1.05	3.99	5.81	3
15	1.14	2.46	6.02	5

Les poids de ces positions sont pris égaux au nombre de points qui ont servi à les obtenir. Ces points ont servi à la construction de la courbe d'éclat de *B.D.* 32^o1324.

L'étude de cette courbe montre, que l'étoile appartient au type β Lyrae, avec les éléments suivants:

$T_0 = \text{Min. } 1918 \text{ I } 29 \text{ } 10^h 45^m.0 = 2421623.4479 \text{ J.D.} + 1^d.26253E \text{ t. m. Poulkovo.}$
Après le minimum principal, l'étoile atteint son premier maximum 0^d.34 après, le deuxième minimum après 0^d.63 et le 2^e maximum après 0^d.86. Les éclats correspondants, exprimés par les nombres de la 7-e colonne de la table II sont: Min. I 6.34, Max. I 5.58, Min. II 5.76, Max. II 5.59.

L'insignifiante dissymétrie de la courbe est due au peu d'exactitude des observations. En tout cas sa forme définitive ne peut être obtenue qu'après des études photométriques

¹⁾ Les points correspondants aux N^{os} 7, 29 et 35 sont rejetés comme ne s'accordant pas avec la marche générale de la courbe.

spéciales. Dans ce but nous avons imprimé en conclusion une éphéméride construite d'après les éléments indiqués ci dessus.

1919	Janv.	1	13	6	Avr.	2	10	46	Oct.	11	8	31
		6	14	18		7	11	59		16	9	43
		11	15	31		12	13	11		21	10	56
		16	16	43		17	14	23		26	12	8
		21	17	55		22	15	35		31	13	20
		26	19	7		27	16	48	Nov.	5	14	32
		31	20	20	Mai	2	18	0		10	15	45
Févr.	5	21	32			7	19	12		15	16	57
	10	21	44			12	20	24		20	18	9
	15	23	56			—				25	19	21
	21	1	9	Aout	31	22	53			30	20	33
	26	2	21	Sept.	6	0	6		Dec.	5	21	46
Mars	3	3	33		11	1	18			10	22	58
	8	4	45		16	2	30			16	0	10
	13	5	57		21	3	32			21	1	22
	18	7	10		26	4	54			26	2	35
	23	8	22	Oct.	1	6	7			31	3	47
	28	9	34		6	7	19					

Эфемериды малых планет

М. ЖИЛОВОЙ.

(48) Doris.

1917—1929.

В Известиях Императорской Академии Наук (1906. Март. V Серия, ТХХIV. № 3) напечатана моя работа: „Приближенная абсолютная орбита малой планеты (48) Doris“. Орбита была вычислена по способу О. А. Баклунд. В 1915 м году О. А. Баклунд представил Академии мою следующую работу об этой планете, где сопоставлено все, сделанное мною с ее открытия 1857 го года и вычислены таблицы для дальнейших вычислений эфемерид до 2000 го года.

$t_0 = 1880$ декабря 4.0 среднего Берлинского времени.

$$\begin{array}{lcl} n = 646.''0225 & \Delta = 70^{\circ}38'.91 & \\ \log n = 9.11178 & \Gamma = 102\ 53.91 & \\ \log i = 9.06008 & \vartheta = 194\ 50.29 & \end{array} \left. \vphantom{\begin{array}{lcl} n = 646.''0225 \\ \log n = 9.11178 \\ \log i = 9.06008 \end{array}} \right\} 1850.0$$

Сред Гринв. вр. 12 ^h	α 1917.0	δ 1917.0	$\lg \Delta$	Время абerr.	Вели- чина
1917 Июля 23	20 ^h 43 ^m 13. ^s 6	— 9°58.96	0.35487	18 ^m 48. ^s 4	11 ^m .14
24	42 28.9 ^{-44.7}	—10 2.34 ^{-3.38}	.35434	47.0	
25	41 44.1 ^{-44.8}	5.78 ^{-3.44}	.35388	45.8	
26	40 59.4 ^{-44.7}	9.26 ^{-3.48}	.35348	44.8	
27	40 14.7 ^{-44.7}	12.80 ^{-3.54}	.35312	43.8	
28	39 30.0 ^{-44.7}	16.40 ^{-3.60}	.35281	43.0	
29	38 45.3 ^{-44.7}	20.05 ^{-3.65}	.35257	42.4	
∞ 30	38 0.5 ^{-44.8}	23.74 ^{-3.69}	.35237	41.9	
31	37 15.8 ^{-44.7}	27.50 ^{-3.76}	.35224	41.6	11.13
Авг. 1	36 31.1 ^{-44.7}	31.30 ^{-3.80}	.35215	41.3	
2	35 46.4 ^{-44.7}	35.16 ^{-3.86}	.35212	41.2	
3	35 1.6 ^{-44.8}	39.06 ^{-3.90}	.35214	41.3	
4	34 16.9 ^{-44.7}	43.02 ^{-3.96}	.35222	41.5	
5	33 32.2 ^{-44.7}	47.03 ^{-4.01}	.35236	41.8	
6	32 47.4 ^{-44.8}	51.10 ^{-4.07}	.35254	42.3	
7	32 2.7 ^{-44.7}	55.21 ^{-4.11}	.35278	42.9	
8	31 17.9 ^{-44.8}	—10 59.38 ^{-4.17}	0.35308	18 43.7	11.13

Сред. Гринв. вр. 12 ^h	α 1918.0	δ 1918.0	lg Δ	Время абerr.	Вели- чина
1918 Октября 14	1 ^h 56 ^m 25 ^s 7	+ 7 ^o 58.26	0.29878	16 ^m 31.7	10.66
15	55 42.0 ^{-43.7}	52 03 ^{-6.23}	.29827	30.6	
16	54 58.4 ^{-43.6}	45.81 ^{-6.22}	.29782	29.5	
17	54 14.7 ^{-43.7}	39.64 ^{-6.17}	.29744	28.6	
18	53 31.0 ^{-43.7}	33.48 ^{-6.16}	.29712	27.9	
19	52 47.3 ^{-43.7}	27.36 ^{-6.12}	.29687	27.3	
20	52 3.6 ^{-43.7}	21.26 ^{-6.10}	.29669	26.9	
21	51 19.9 ^{-43.7}	15.20 ^{-6.06}	.29656	26.6	
22	50 36.1 ^{-43.8}	9.16 ^{-6.04}	.29649	26.5	10.65
23	49 52.4 ^{-43.7}	3.15 ^{-6.01}	.29648	26.4	
24	49 8.6 ^{-43.8}	+ 6 57.16 ^{-5.99}	.29654	26.6	
25	48 24.8 ^{-43.8}	51.21 ^{-5.95}	.29667	26.8	
26	47 41.0 ^{-43.8}	45.27 ^{-5.94}	.29685	27.2	
27	46 57.2 ^{-43.8}	39.37 ^{-5.90}	.29710	27.8	
28	46 13.4 ^{-43.8}	33.49 ^{-5.88}	.29740	28.5	
29	45 29.5 ^{-43.9}	27.64 ^{-5.85}	.29780	29.4	
30	1 44 45.7 ^{-43.8}	+ 6 21.82 ^{-5.82}	0.29824	16 30.4	10.65
1920 Января 12	α 1920.0 8 ^h 19 ^m 29.4	δ 1920.0 +10 ^o 35.69	0.29379	16 ^m 20.3	10.60
13	18 41.5 ^{-47.9}	38.57 ^{+2.88}	.29320	19.0	
14	17 53.4 ^{-48.1}	41.54 ^{+2.97}	.29266	17.8	
15	17 5.3 ^{-48.1}	44.59 ^{+3.05}	.29220	16.7	
16	16 17.0 ^{-48.3}	47.71 ^{+3.12}	.29180	15.8	
17	15 28.7 ^{-48.3}	50.90 ^{+3.19}	.29147	15.1	
18	14 40.3 ^{-48.4}	54.17 ^{+3.27}	.29119	14.5	
19	13 51.7 ^{-48.6}	57.52 ^{+3.35}	.29099	14.0	
20	13 3.1 ^{-48.6}	+11 0.94 ^{+3.42}	.29086	13.7	10.59
21	12 14.4 ^{-48.7}	4.43 ^{+3.49}	.29079	13.6	
22	11 25.6 ^{-48.8}	8.02 ^{+3.59}	.29078	13.6	
23	10 36.6 ^{-49.0}	11.67 ^{+3.65}	.29084	13.7	
24	9 47.6 ^{-49.0}	15.40 ^{+3.73}	.29097	14.0	
25	8 58.5 ^{-49.1}	19.20 ^{+3.80}	.29116	14.4	
26	8 9.3 ^{-49.2}	23.09 ^{+3.89}	.29141	15.0	
27	7 20.0 ^{-49.3}	27.05 ^{+3.96}	.29173	15.7	
28	8 6 30.6 ^{-49.4}	+11 31.08 ^{+4.03}	0.29211	16 16.5	10.60
1921 Апреля 4	α 1921.0 13 ^h 43 ^m 36.0	δ 1921.0 — 7 ^o 32.64	0.34813	18 ^m 31.0	11.08
5	42 54.3 ^{-41.7}	26.72 ^{+5.92}	.34764	29.7	
6	42 12.5 ^{-41.8}	20.82 ^{+5.90}	.34723	28.7	
7	41 30.6 ^{-41.9}	14.91 ^{+5.91}	.34685	27.7	
8	40 48.6 ^{-42.0}	9.03 ^{+5.88}	.34654	26.9	
9	40 6.6 ^{-42.0}	3.15 ^{+5.88}	.34628	26.3	
10	39 24.4 ^{-42.2}	— 6 57.29 ^{+5.86}	.34609	25.8	
11	38 42.0 ^{-42.4}	51.43 ^{+5.86}	.34595	25.4	
12	37 59.6 ^{-42.4}	45.60 ^{+5.83}	.34586	25.2	11.07
13	37 17.1 ^{-42.5}	39.76 ^{+5.84}	.34582	25.1	
14	36 34.5 ^{-42.6}	33.95 ^{+5.81}	.34585	25.2	
15	35 51.8 ^{-42.7}	28.14 ^{+5.81}	.34594	25.4	
16	35 9.0 ^{-42.8}	22.35 ^{+5.79}	.34608	25.7	
17	34 26.0 ^{-43.0}	16.56 ^{+5.79}	.34627	26.2	
18	33 43.0 ^{-43.0}	10.79 ^{+5.77}	.34652	26.9	
19	32 59.9 ^{-43.1}	5.02 ^{+5.77}	.34682	27.6	
20	13 32 16.6 ^{-43.3}	— 5 59.27 ^{+5.75}	0.34719	18 28.6	11.08

Сред. Гринв. вр. 12 ^h		α 1922.0	δ 1922.0	log Δ	Время абerr.	Вели- чина
1922 Июня	17	18 ^h 24 ^m 24. ^s 3	—14°1'33	0.36898	19 ^m 25. ^s 6	11 ^m 26
	18	23 37.4 ^{—46.9}	1.19 ^{+0.14}	.36850	24.4	
	19	22 50.4 ^{—47.0}	1.11 ^{+0.09}	.36810	23.3	
	20	22 3.4 ^{—47.0}	1.08 ^{+0.03}	.36773	22.3	
	21	21 16.3 ^{—47.1}	1.11 ^{—0.03}	.36742	21.4	
	22	20 29.2 ^{—47.1}	1.20 ^{—0.09}	.36715	20.7	
	23	19 42.0 ^{—47.2}	1.35 ^{—0.15}	.36695	20.2	
	24	18 54.8 ^{—47.2}	1.54 ^{—0.19}	.36680	19.8	
	25	18 7.6 ^{—47.2}	1.80 ^{—0.26}	.36671	19.5	11.25
	26	17 20.3 ^{—47.3}	2.11 ^{—0.31}	.36665	19.4	
	27	16 33.0 ^{—47.3}	2.49 ^{—0.38}	.36665	19.4	
	28	15 45.7 ^{—47.3}	2.91 ^{—0.42}	.36670	19.5	
	29	14 58.3 ^{—47.4}	3.39 ^{—0.48}	.36682	19.8	
	30	14 10.8 ^{—47.5}	3.92 ^{—0.53}	.36697	20.4	
	Июля 1	13 23.4 ^{—47.4}	4.52 ^{—0.60}	.36718	20.8	
	2	12 35.9 ^{—47.5}	5.18 ^{—0.66}	.36744	21.5	
	3	18 11 48.3 ^{—47.6}	—14 5 89 ^{—0.71}	0.36776	19 22.4	11.25
		α 1923.0	δ 1923.0			
1923 Сент.	0	23 ^h 15 ^m 20. ^s 9	— 1°22'78	0.32739	17 ^m 39. ^s 2	10.91
	1	14 40.2 ^{—40.7}	28.69 ^{—5.91}	.32673	37.6	
	2	13 59.4 ^{—40.8}	34.65 ^{—5.96}	.32613	36.1	
	3	13 18.4 ^{—41.0}	40.63 ^{—5.98}	.32559	34.8	
	4	12 37.4 ^{—41.0}	46.66 ^{—6.03}	.32512	33.7	
	5	11 56.3 ^{—41.1}	52.71 ^{—6.05}	.32471	32.6	
	6	11 15.0 ^{—41.3}	58.81 ^{—6.10}	.32435	31.8	
	7	10 33.7 ^{—41.3}	— 2 4.93 ^{—6.12}	.32405	31.1	
	8	9 52.3 ^{—41.4}	11.10 ^{—6.17}	.32381	30.5	10.89
	9	9 10.8 ^{—41.5}	17.29 ^{—6.19}	.32362	30.0	
	10	8 29.2 ^{—41.6}	23.53 ^{—6.24}	.32349	29.7	
	11	7 47.5 ^{—41.7}	29.79 ^{—6.26}	.32342	29.5	
	12	7 5.7 ^{—41.8}	36.10 ^{—6.31}	.32341	29.5	
	13	6 23.8 ^{—41.9}	42.44 ^{—6.34}	.32345	29.6	
	14	5 41.8 ^{—42.0}	48.81 ^{—6.37}	.32356	29.9	
	15	4 59.7 ^{—42.1}	55.21 ^{—6.40}	.32373	30.3	
	16	23 4 17.5 ^{—42.2}	— 3 1.66 ^{—6.45}	0.32396	17 30.8	10.88
		α 1924.0	δ 1924.0			
1924 Ноября	28	5 ^h 13 ^m 35. ^s 0	+13°46'69	0.28284	15 ^m 55. ^s 9	10.51
	29	12 45.4 ^{—49.6}	44.20 ^{—2.49}	.28224	54.6	
	30	11 55.8 ^{—49.6}	41.79 ^{—2.41}	.28171	53.4	
	Декабря 1	11 6.0 ^{—49.8}	39.45 ^{—2.34}	.28125	52.4	
	2	10 16.0 ^{50.0}	37.18 ^{—2.27}	.28085	51.6	
	3	9 26.0 ^{—50.0}	34.97 ^{—2.21}	.28051	50.8	
	4	8 35.8 ^{—50.2}	32.85 ^{—2.12}	.28024	50.2	
	5	7 45.5 ^{—50.3}	30.80 ^{—2.05}	.28004	49.8	
	6	6 55.1 ^{—50.4}	28.82 ^{—1.98}	.27991	49.5	10.50
	7	6 4.6 ^{—50.5}	26.89 ^{—1.93}	.27984	49.3	
	8	5 13.9 ^{—50.7}	25.05 ^{—1.84}	.27983	49.3	
	9	4 23.1 ^{—50.8}	23.27 ^{—1.78}	.27989	49.5	
	10	3 32.2 ^{—50.9}	21.58 ^{—1.69}	.28002	49.7	
	11	2 41.2 ^{—51.0}	19.94 ^{—1.64}	.28021	50.1	
	12	1 50.0 ^{—51.2}	18.38 ^{—1.56}	.28046	50.7	
	13	0 58.7 ^{—51.3}	16.88 ^{—1.50}	.28078	51.4	
	14	5 0 7.2 ^{—51.5}	+13 15.47 ^{—1.41}	0.28116	15 52.2	10.50

Сред. Гринв. вр. 12 ^h		α 1926.0	δ 1926.0	$\log \Delta$	Время абerr.	Вели- чина
1926 Февр.	26	11 ^h 17 ^m 2 ^s 3	+ 1 ⁰ 16' 15	0.32138	17 ^m 24 ^s 6	10.84
	27	16 20.0 ^{-42.3}	22.27 ^{+6.12}	.32089	23.5	
	28	15 37.8 ^{-42.2}	28.43 ^{+6.16}	.32047	22.4	
	Марта	1 14 55.4 ^{-42.4}	34.61 ^{+6.18}	.32010	21.5	
		2 14 13.0 ^{-42.4}	40.83 ^{+6.22}	.31980	20.8	
		3 13 30.6 ^{-42.4}	47.07 ^{+6.24}	.31957	20.3	
		4 12 48.0 ^{-42.6}	53.35 ^{+6.28}	.31939	19.8	
	5	12 5.5 ^{-42.5}	59.66 ^{+6.31}	.31927	19.6	
	6	11 22.8 ^{-42.7}	+ 2 6.01 ^{+6.35}	.31921	19.4	
	∞	7 10 40.2 ^{-42.6}	12.37 ^{+6.36}	.31921	19.4	10.84
		8 9 57.4 ^{-42.8}	18.77 ^{+6.40}	.31927	19.6	
		9 9 14.6 ^{-42.8}	25.19 ^{+6.42}	.31940	19.9	
		10 8 31.8 ^{-42.8}	31.65 ^{+6.46}	.31959	20.3	
	11	7 48.9 ^{-42.9}	38.13 ^{+6.48}	.31983	20.9	
	12	7 6.0 ^{-42.9}	44.65 ^{+6.52}	.32014	21.6	
1927 Мая	13	6 23.0 ^{-43.0}	51.19 ^{+6.54}	.32052	22.5	
	14	11 5 39.9 ^{-43.1}	57.78 ^{+6.59}	0.32095	17 23.6	10.85
		α 1927.0	δ 1927.0			
	12	16 ^h 10 ^m 14 ^s 1	-13 ⁰ 18 55	0.36797	19 ^m 22 ^s 9	11 ^m 24
	13	9 29.4 ^{-44.7}	15.01 ^{+3.54}	.36746	21.6	
	14	8 44.6 ^{-44.8}	11.51 ^{+3.50}	.36702	20.4	
	15	7 59.6 ^{-45.0}	8.05 ^{+3.46}	.36662	19.3	
	16	7 14.5 ^{-45.1}	4.64 ^{+3.41}	.36629	18.4	
	17	6 29.3 ^{-45.2}	1.27 ^{+3.37}	.36599	17.6	
	18	5 43.9 ^{-45.4}	-12 57.94 ^{+3.33}	.36575	17.0	
	19	4 58.4 ^{-45.5}	54.65 ^{+3.29}	.36557	16.5	
	20	4 12.8 ^{-45.6}	51.40 ^{+3.25}	.36545	16.2	11.24
	21	3 27.1 ^{-45.7}	48.18 ^{+3.22}	.36536	15.9	
	22	2 41.2 ^{-45.9}	45.01 ^{+3.17}	.36534	15.9	
	23	1 55.2 ^{-46.0}	41.89 ^{+3.12}	.36536	16.0	
1928 Июля	∞	1 9.0 ^{-46.2}	38.80 ^{+3.09}	.36545	16.2	
		25 0 22.7 ^{-46.3}	35.75 ^{+3.05}	.36557	16.5	
		26 15 59 36.3 ^{-46.4}	32.74 ^{+3.01}	.36576	17.0	
		27 58 49.8 ^{-46.5}	29.77 ^{+2.97}	.36599	17.6	
	28	15 58 3.1 ^{-46.7}	-12 26.85 ^{+2.92}	0.36629	19 18.4	11.24
		α 1928.0	1928.0			
	23	20 ^h 50 ^m 50 ^s 5	- 9 ⁰ 36.20	0.35435	18 ^m 47 ^s 0	11.14
	24	50 6.6 ^{-43.9}	39.60 ^{-3.40}	.35373	45.4	
	25	49 22.6 ^{-44.0}	43.07 ^{-3.47}	.35317	44.0	
	26	48 38.4 ^{-44.2}	46.60 ^{-3.53}	.35266	42.6	
	27	47 54.2 ^{-44.2}	50.20 ^{-3.60}	.35222	41.5	
	28	47 10.0 ^{-44.2}	53.84 ^{-3.64}	.35183	40.5	
	29	46 25.6 ^{-44.4}	57.55 ^{-3.71}	.35150	39.4	
	30	45 41.2 ^{-44.4}	-10 1.31 ^{-3.76}	.35121	38.9	
	∞	31 44 56.6 ^{-44.6}	5.14 ^{-3.83}	.35099	38.3	11.12
		1 44 12.0 ^{-44.6}	9.03 ^{-3.89}	.35082	37.9	
		2 43 27.3 ^{-44.7}	12.96 ^{-3.93}	.35071	37.6	
		3 42 42.5 ^{-44.8}	16.95 ^{-3.99}	.35064	37.4	
Авг.	4	41 57.6 ^{-44.9}	21.01 ^{-4.06}	.35064	37.4	
	5	41 12.7 ^{-44.9}	25.12 ^{-4.11}	.35068	37.5	
	6	40 27.6 ^{-45.1}	29.30 ^{-4.18}	.35080	37.8	
	7	39 42.5 ^{-45.1}	33.53 ^{-4.23}	.35095	38.2	
	8	20 38 57.3 ^{-45.2}	-10 37.82 ^{-4.29}	0.35117	18 38.8	11.11

Сред. Гринв. вр 12 ^h	α 1929.0	δ 1929.0	$\log \Delta$	Время абerr.	Вели- чина
1929 Октября 14	2 ^h 9 ^m 48.3	+ 8°45'84	0.29492	16 ^m 29.9	10.63
15	9 5.6—42.7	39.72—6.12	.29425	21.4	
16	8 22.8—42.8	33.63—6.09	.29363	20.0	
17	7 39.8—43.0	27.56—6.07	.29308	18.7	
18	6 56.6—43.2	21.51—6.05	.29259	17.6	
19	6 13.3—43.3	15.47—6.04	.29218	16.7	
20	5 29.8—43.5	9.45—6.02	.29182	15.9	
21	4 46.1—43.7	3.44—6.01	.29153	15.2	
22	4 23—43.8	+ 7 57.45—5.99	.29130	14.7	10.60
23	3 18.3—44.0	51.47—5.98	.29114	14.3	
24	2 34.2—44.1	45.52—5.95	.29104	14.1	
25	1 49.9—44.3	39.58—5.94	.29100	14.0	
26	1 5.4—44.5	33.67—5.91	.29103	14.1	
27	0 20.8—44.6	27.77—5.90	.29113	14.3	
28	1 ^h 59 36.0—44.8	21.89—5.88	.29129	14.7	
29	58 51.0—45.0	16.02—5.87	.29152	15.2	
30	1 ^h 58 5.9—45.1	+ 7 10.18—5.84	0.29181	16 15.9	10.60

Тем же способом были вычислены мною орбиты малых планет (147) Protogenia и (196) Philomela. Разности наблюдений с эфемеридами дали следующие величины:

	$\alpha_o - \alpha_c$	$\delta_o - \delta_c$	$m_o - m_c$	Место наблюд.	Наблюдатель
(147) Protogenia 1918 го года	+ 3 ^s	— 0.5	+ 0 ^m .1	Algier.	Gonnissiat
(196) Philomela 1918	— 4 ^s	— 1.3	0 ^m .0	Heidelbeg	M. Wolf

(147) Protogeneia. 1920—1931.

$t_0 = 1890$ февр. 25.0 сред. Берл. вр.

$$\left. \begin{array}{l} n = 638^{\circ}5554 \\ \lg n = 7.80817 \\ \lg t = 8.72080 \end{array} \right\} \begin{array}{l} \Delta = 169^{\circ}11'80 \\ \Gamma = 200 22.99 \\ \vartheta = 259 46.86 \end{array} \quad 1850.0$$

Сред. Пулк. вр. 12 ^h	α 1920.0	δ 1920.0	$\log \Delta$	Время абerr.	Вели- чина
1920 Сент. 2	23 ^h 19 ^m 42.7	—1°16'19	0.3098	16 ^m 57 ^s	12 ^m 36
3	18 59.1—43.6	—1 20.72—4.53	.3093—5	56	
4	18 15.6—43.5	—1 25.28—4.56	.3089—4	55	
5	17 32.1—43.5	—1 29.85—4.57	.3086—3	54	
6	16 48.6—43.5	—1 34.45—4.60	.3083—3	54	
7	16 5.1—43.5	—1 39.07—4.62	.3081—2	53	
8	15 21.6—43.5	—1 43.71—4.64	.3080—1	53	
9	14 38.1—43.5	—1 48.38—4.67	.3079—1	53	
10	13 54.7—43.4	—1 53.06—4.68	.3079—0	53	12.35
11	13 11.2—43.5	—1 57.77—4.71	.3079—0	53	
12	12 27.8—43.4	—2 2.50—4.73	.3080—1	53	
13	11 44.4—43.4	—2 7.25—4.75	.3082—2	53	
14	11 1.0—43.4	—2 12.03—4.78	.3084—2	54	
15	10 17.6—43.4	—2 16.84—4.81	.3087—3	55	
16	9 34.2—43.4	—2 21.66—4.82	.3090—3	55	
17	8 50.8—43.4	—2 26.51—4.85	.3094—4	56	
18	23 ^h 8 7.4—43.4	—2 31.37—4.86	0.3099—5	16 ^m 57 ^s	12.36

Сред. Пулк. вр. 12 ^h	α 1921.0	δ 1921.0	log Δ	Время абerr.	Вели- чина
1921 Ноября 26	4 ^h 48 ^m 49 ^s 6 ^s	+22°26'49	0.3297	17 ^m 45 ^s	12 ^m 52
27	47 56.9 ^{-52.7}	24.26 ^{-2.23}	.3294 ⁻³	44	
28	47 4.3 ^{-52.6}	22.04 ^{-2.22}	.3291 ⁻³	43	
29	46 11.8 ^{-52.5}	19.82 ^{-2.22}	.3288 ⁻³	43	
30	45 19.3 ^{-52.5}	17.60 ^{-2.22}	.3287 ⁻¹	42	
Декабря 1	44 26.9 ^{-52.4}	15.38 ^{-2.21}	.3285 ⁻²	42	
2	43 34.6 ^{-52.3}	13.17 ^{-2.22}	.3285 ⁻⁰	42	
3	42 42.4 ^{-52.2}	10.95 ^{-2.21}	.3285 ⁻⁰	42	
∞ 4	41 50.2 ^{-52.2}	8.74 ^{-2.22}	.3286 ⁺¹	42	12.51
5	40 58.1 ^{-52.1}	6.52 ^{-2.20}	.3287 ⁺¹	42	
6	40 6.1 ^{-52.0}	4.32 ^{-2.21}	.3289 ⁺²	43	
7	39 14.1 ^{-52.0}	2.11 ^{-2.21}	.3292 ⁺³	44	
8	38 22.2 ^{-51.9}	21 59.90 ^{-2.21}	.3295 ⁺³	44	
9	37 30.4 ^{-51.8}	57.69 ^{-2.20}	.3299 ⁺⁴	45	
10	36 38.7 ^{-51.7}	55.49 ^{-2.21}	.3303 ⁺⁴	46	
11	35 47.0 ^{-51.7}	53.28 ^{-2.21}	.3308 ⁺⁵	48	
12	4 ^h 34 55.2 ^{-51.8}	+21°51'08 ^{-2.20}	.3314 ⁺⁶	17 ^m 49 ^s	12.53
1923 Февр. 8	α 1923.0 10 ^h 4 ^m 1.8	δ 1923.0 + 9° 2'22	0.3522	18 ^m 41 ^s	12 ^m 70
9	3 ^s 15.7 ^{-46.1}	6.13 ^{+3.91}	.3517 ⁻⁵	40	
10	2 29.6 ^{-46.1}	10.05 ^{+3.92}	.3513 ⁻⁴	39	
11	1 43.4 ^{-46.2}	13.99 ^{+3.94}	.3509 ⁻⁴	38	
12	0 57.2 ^{-46.2}	17.95 ^{+3.96}	.3506 ⁻³	37	
13	0 11.0 ^{-46.2}	21.92 ^{+3.97}	.3503 ⁻³	37	
14	9 59 24.8 ^{-46.2}	25.91 ^{+3.99}	.3501 ⁻²	36	
15	58 38.5 ^{-46.3}	29.92 ^{+4.01}	.3500 ⁻¹	36	
16	57 52.2 ^{-46.3}	33.94 ^{+4.02}	.3499 ⁻¹	35	
17	57 5.9 ^{-46.3}	37.99 ^{+4.05}	.3498 ⁻¹	35	12.69
18	56 19.5 ^{-46.4}	42.05 ^{+4.06}	.3498 ⁻⁰	35	
19	55 33.1 ^{-46.4}	46.12 ^{+4.07}	.3499 ⁺¹	36	
20	54 46.7 ^{-46.4}	50.20 ^{+4.08}	.3501 ⁺²	36	
21	54 0.3 ^{-46.4}	54.31 ^{+4.11}	.3503 ⁺²	36	
22	53 13.8 ^{-46.5}	+ 9°58.43 ^{+4.12}	.3505 ⁺²	37	
23	52 27.3 ^{-46.5}	+10 2.56 ^{+4.13}	.3508 ⁺³	38	
24	9 51 40.8 ^{-46.5}	+10 6.73 ^{+4.17}	0.3512 ⁺⁴	18 ^m 39 ^s	12.70
1924 Апр. 23	α 1924.0 14 ^h 43 ^m 18 ^s 1	δ 1924.0 -17°16.39	0.3427	18 ^m 17 ^s	12 ^m 64
24	42 32.1 ^{-46.0}	12.58 ^{+3.81}	.3421 ⁻⁶	15	
25	41 46.2 ^{-45.9}	8.74 ^{+3.84}	.3416 ⁻⁵	14	
26	41 0.2 ^{-46.0}	4.87 ^{+3.87}	.3412 ⁻⁴	13	
27	40 14.2 ^{-46.0}	0.99 ^{+3.88}	.3408 ⁻⁴	12	
28	39 28.3 ^{-45.9}	-16 57.06 ^{+3.93}	.3405 ⁻³	12	
29	38 42.3 ^{-46.0}	53.12 ^{+3.94}	.3402 ⁻³	11	
30	37 56.3 ^{-46.0}	49.15 ^{+3.97}	.3400 ⁻²	10	
∞ Мая 1	37 10.4 ^{-45.9}	45.16 ^{+3.99}	.3398 ⁻²	10	12.62
2	36 24.4 ^{-46.0}	41.13 ^{+4.03}	.3397 ⁻¹	10	
3	35 38.4 ^{-46.0}	37.09 ^{+4.04}	.3396 ⁻¹	9	
4	34 52.4 ^{-46.0}	33.03 ^{+4.06}	.3396 ⁻⁰	9	
5	34 6.3 ^{-46.1}	28.93 ^{+4.10}	.3396 ⁻⁰	10	
6	33 20.3 ^{-46.0}	24.80 ^{+4.13}	.3398 ⁺²	10	
7	32 34.2 ^{-46.1}	20.65 ^{+4.15}	.3399 ⁺¹	10	
8	31 48.2 ^{-46.0}	16.47 ^{+4.18}	.3402 ⁺³	11	
9	14 31 2.1 ^{-46.1}	-16 12.27 ^{+4.20}	0.3404 ⁺²	18 ^m 12 ^s	12.62

Сред. Пулк. вр. 12 ^h		α 1925.0	δ 1925.0	$\log \Delta$	Время абerr.	Вели- чина
1925 Июля	16	20 ^h 20 ^m 23.5 ^s	-17° 18.29	0.3163	17 ^m 12 ^s	12 ^m 42
	17	19 35.7 ^{-47.8}	20.47 ^{-2.18}	.3158 ⁻⁵	11	
	18	18 47.9 ^{-47.8}	22.66 ^{-2.19}	.3153 ⁻⁵	10	
	19	18 0.1 ^{-47.8}	24.85 ^{-2.19}	.3150 ⁻³	9	
	20	17 12.3 ^{-47.8}	27.05 ^{-2.20}	.3147 ⁻³	9	
	21	16 24.5 ^{-47.8}	29.25 ^{-2.20}	.3145 ⁻²	8	
	22	15 36.6 ^{-47.9}	31.45 ^{-2.20}	.3143 ⁻²	8	
	23	14 48.8 ^{-47.8}	33.66 ^{-2.21}	.3141 ⁻²	7	
∞	24	14 1.0 ^{-47.8}	35.87 ^{-2.21}	.3141 ⁺⁰	7	12.41
	25	13 13.2 ^{-47.8}	38.09 ^{-2.22}	.3141 ⁺⁰	7	
	26	12 25.3 ^{-47.9}	40.32 ^{-2.23}	.3141 ⁺⁰	7	
	27	11 37.5 ^{-47.8}	42.55 ^{-2.23}	.3142 ⁺¹	7	
	28	10 49.6 ^{-47.9}	44.78 ^{-2.23}	.3144 ⁺²	8	
	29	10 1.7 ^{-47.9}	47.02 ^{-2.24}	.3146 ⁺²	8	
	30	9 13.8 ^{-47.9}	49.26 ^{-2.24}	.3149 ⁺³	9	
	31	8 25.9 ^{-47.9}	51.51 ^{-2.25}	.3153 ⁺⁴	10	
Авг.	1	7 38.0 ^{-47.9}	-17° 53.76 ^{-2.25}	0.3157 ⁺⁴	17 ^m 11 ^s	12 42
		α 1926.0	δ 1926.0			
1926 Окт.	11	1 ^h 40 ^m 26.5 ^s	+12° 35.16	0.3180	17 ^m 16 ^s	12 ^m 42
	12	39 40.8 ^{-45.7}	30.54 ^{-4.62}	.3176 ⁻⁴	15	
	13	38 55.1 ^{-45.7}	25.90 ^{-4.64}	.3173 ⁻³	15	
	14	38 9.5 ^{-45.6}	21.24 ^{-4.66}	.3170 ⁻³	14	
	15	37 24.0 ^{-45.5}	16.56 ^{-4.68}	.3168 ⁻²	14	
	16	36 38.5 ^{-45.5}	11.85 ^{-4.71}	.3167 ⁻¹	13	
	17	35 53.1 ^{-45.4}	7.13 ^{-4.72}	.3166 ⁻¹	13	
	18	35 7.8 ^{-45.3}	2.38 ^{-4.75}	.3166 ⁻⁰	13	
∞	19	34 22.5 ^{-45.3}	+11 57.63 ^{-4.75}	.3166 ⁻⁰	13	12.42
	20	33 37.2 ^{-45.3}	52.84 ^{-4.79}	.3167 ⁺¹	13	
	21	32 52.0 ^{-45.2}	48.03 ^{-4.81}	.3168 ⁺¹	13	
	22	32 6.9 ^{-45.1}	43.19 ^{-4.84}	.3170 ⁺²	14	
	23	31 21.8 ^{-45.1}	38.34 ^{-4.85}	.3173 ⁺³	15	
	24	30 36.8 ^{-45.0}	33.47 ^{-4.87}	.3177 ⁺⁴	16	
	25	29 51.8 ^{-45.0}	28.58 ^{-4.89}	.3181 ⁺⁴	17	
	26	29 6.9 ^{-44.9}	23.66 ^{-4.92}	.3186 ⁺⁵	18	
	27	1 ^h 28 22.1 ^{-44.8}	+11 18.73 ^{-4.93}	0.3191 ⁺⁵	17 ^m 19 ^s	12.43
		α 1928.0	δ 1928.0			
1927 Дек.	29	7 ^h 15 ^m 24.7 ^s	+20° 45.20	0.3421	18 ^m 16 ^s	12 ^m 62
	30	14 32.8 ^{-51.9}	46.25 ^{+1.05}	.3417 ⁻⁴	15	
	31	13 40.8 ^{-52.0}	47.29 ^{+1.04}	.3413 ⁻⁴	14	
1928 Янв.	1	12 48.8 ^{-52.0}	48.32 ^{+1.03}	.3410 ⁻³	13	
	2	11 56.7 ^{-52.1}	49.35 ^{+1.03}	.3407 ⁻³	12	
	3	11 4.6 ^{-52.1}	50.38 ^{+1.03}	.3405 ⁻²	12	
	4	10 12.5 ^{-52.1}	51.42 ^{+1.04}	.3404 ⁻¹	11	
	5	9 20.4 ^{-52.1}	52.44 ^{+1.02}	.3403 ⁻¹	11	
∞	6	8 28.2 ^{-52.2}	53.46 ^{+1.02}	.3403 ⁺⁰	11	12.61
	7	7 36.0 ^{-52.2}	54.48 ^{+1.02}	.3403 ⁺⁰	11	
	8	6 43.7 ^{-52.3}	55.51 ^{+1.03}	.3404 ⁺¹	11	
	9	5 51.4 ^{-52.3}	56.52 ^{+1.01}	.3406 ⁺²	12	
	10	4 59.0 ^{-52.4}	57.53 ^{+1.01}	.3408 ⁺²	12	
	11	4 6.7 ^{-52.3}	58.54 ^{+1.01}	.3411 ⁺³	13	
	12	3 14.3 ^{-52.4}	59.55 ^{+1.01}	.3414 ⁺³	14	
	13	2 21.8 ^{-52.5}	+21 0.56 ^{+1.01}	.3418 ⁺⁴	15	
	14	7 1 29.3 ^{-52.5}	+21 1.57 ^{+1.01}	0.3423 ⁺⁵	18 ^m 16 ^s	12 62

Сред. Пулк. вр. 12 ^h		α 1929.0	δ 1929.0	$\log \Delta$	Время абсегр.	Вели- чина
1929 Марта	11	12 ^h 5 ^m 10. ^s 0	— 3°23.68	0.3497	18 ^m 35 ^s	12 ^m 68
	12	4 26.9 ^{—43.1}	— 3 19.07 ^{+4.61}	.3491 ^{—6}	35	
	13	3 43.7 ^{—43.2}	14.41 ^{+4.66}	.3485 ^{—6}	32	
	14	3 0.4 ^{—43.3}	9.72 ^{+4.69}	.3480 ^{—5}	31	
	15	2 17.1 ^{—43.3}	5.01 ^{+4.71}	.3476 ^{—4}	30	
	16	1 33.7 ^{—43.4}	— 3 0.28 ^{+4.73}	.3472 ^{—4}	29	
	17	0 50.4 ^{—43.3}	— 2 55.51 ^{+4.77}	.3469 ^{—3}	28	
	18	0 7.1 ^{—43.3}	50.70 ^{+4.81}	.3467 ^{—2}	27	
	19	11 59 23.6 ^{—43.5}	45.87 ^{+4.83}	.3465 ^{—2}	27	12.67
∞	20	58 40.0 ^{—43.6}	41.01 ^{+4.86}	.3464 ^{—1}	26	
	21	57 56.4 ^{—43.6}	36.12 ^{+4.89}	.3463 ^{—1}	26	
	22	57 12.7 ^{—43.7}	31.21 ^{+4.91}	.3462 ^{—1}	26	
	23	56 29.0 ^{—43.7}	26.26 ^{+4.95}	.3463 ⁺¹	26	
	24	55 45.2 ^{—43.8}	21.28 ^{+4.98}	.3463 ⁺⁰	26	
	25	55 1.4 ^{—43.8}	16.27 ^{+5.01}	.3465 ⁺²	27	
	26	54 17.5 ^{—43.9}	11.23 ^{+5.04}	.3467 ⁺²	27	
	27	11 53 33.5 ^{—44.0}	— 2 6.16 ^{+5.07}	0.3470 ⁺³	18 ^m 28 ^s	12 67
		α 1930.0	δ 1930.0			
1930 Мая	30	17 ^h 10 ^m 47. ^s 2	—22°42'01	0.3296	17 ^m 45 ^s	12 53
	31	9 57.7 ^{—49.5}	40.50 ^{+1.51}	.3292 ^{—4}	43	
Июня	1	9 8.1 ^{—49.6}	38.97 ^{+1.53}	.3287 ^{—5}	42	
	2	8 18.5 ^{—49.6}	37.41 ^{+1.56}	.3284 ^{—3}	41	
	3	7 28.8 ^{—49.7}	35.85 ^{+1.56}	.3281 ^{—3}	41	
	4	6 39.1 ^{—49.7}	34.28 ^{+1.57}	.3278 ^{—3}	40	
	5	5 49.4 ^{—49.7}	32.69 ^{+1.59}	.3275 ^{—3}	40	
	6	4 59.6 ^{—49.8}	31.07 ^{+1.62}	.3274 ^{—1}	39	
	7	4 9.9 ^{—49.7}	29.45 ^{+1.62}	.3272 ^{—2}	39	12.52
∞	8	3 20.1 ^{—49.8}	27.82 ^{+1.63}	.3272 ^{—0}	38	
	9	2 30.3 ^{—49.8}	26.17 ^{+1.65}	.3271 ^{—1}	38	
	10	1 40.4 ^{—49.9}	24.50 ^{+1.67}	.3271 ^{—0}	38	
	11	17 0 50.6 ^{—49.8}	22.81 ^{+1.69}	.3271 ^{—0}	39	
	12	17 0 0.7 ^{—49.9}	21.10 ^{+1.71}	.3272 ⁺¹	39	
	13	16 59 10.8 ^{—49.9}	19.38 ^{+1.72}	.3274 ⁺²	39	
	14	58 20.8 ^{—50.0}	17.65 ^{+1.73}	.3276 ⁺²	40	
	15	16 57 30.9 ^{—49.9}	—22 15.90 ^{+1.75}	0.3278 ⁺²	17 40	12.52
		α 1931.0	δ 1931.0			
1931 Авг.	24	22 ^h 46 ^m 45. ^s 1	— 4°41'84	0.3140	17 ^m 7 ^s	12 ^m 40
	25	46 1.5 ^{—43.6}	46.07 ^{—4.23}	.3135 ^{—5}	6	
	26	45 17.8 ^{—43.7}	50.32 ^{—4.25}	.3131 ^{—4}	5	
	27	44 34.1 ^{—43.7}	54.59 ^{—4.27}	.3128 ^{—3}	4	
	28	43 50.5 ^{—43.6}	58.88 ^{—4.29}	.3125 ^{—3}	3	
	29	43 6.8 ^{—43.7}	— 5 3.20 ^{—4.32}	.3122 ^{—3}	3	
	30	42 23.1 ^{—43.7}	7.54 ^{—4.34}	.3121 ^{—1}	2	
	31	41 39.4 ^{—43.7}	11.89 ^{—4.35}	.3120 ^{—1}	2	
∞ Сент.	1	40 55.6 ^{—43.8}	16.27 ^{—4.38}	.3119 ^{—1}	2	12.39
	2	40 11.8 ^{—43.8}	20.68 ^{—4.41}	.3119 ^{—0}	2	
	3	39 27.9 ^{—43.9}	25.12 ^{—4.44}	.3120 ⁺¹	2	
	4	38 44.0 ^{—43.9}	29.57 ^{—4.45}	.3121 ⁺¹	2	
	5	38 0.2 ^{—43.8}	34.04 ^{—4.47}	.3123 ⁺²	3	
	6	37 16.3 ^{—43.9}	38.54 ^{—4.50}	.3125 ⁺²	4	
	7	36 32.4 ^{—43.9}	43.06 ^{—4.52}	.3128 ⁺³	4	
	8	35 48.5 ^{—43.9}	47.61 ^{—4.55}	.3132 ⁺⁴	5	
	9	22 ^h 35 4.6 ^{—43.9}	— 5°52'17 ^{—4.56}	0.3136 ⁺⁴	17 ^m 6 ^s	12.40

В настоящее время мною закончены таблицы до 2000-го года, облегчающие вычисления дальнейших эфемерид, и сопоставлено все, сделанное мною для малой планеты (147) Protogenia.

Собственное движение звезды А. G. Lund 5899.

Л. Окулича.

В № 58 „Известий Главной Астрономической Обсерватории“ стр. 145 было указано на то, что звезда А. G. Lund 5899 обладает слабым собственным движением по α . По нашей просьбе Ф. Ф. Ренц любезно согласился пронаблюдать эту звезду большим пассажным инструментом. Его наблюдения в связи с данными старых каталогов послужили для определения собственного движения. Прямое восхождение звезды для 1875.0 на основании различных наблюдений следующее:

Каталог	Эпоха наблюдения	Число наблюдений	Вес	α 1875.0
Par ₂	1866.4	1	0.1	$13^h 44^m 18^s.20$
Jarn.	1868.9	2	0.4	.26
Par ₃	1875.4	3	0.4	.16
Arm ₂	1877.5	4	1.0	.14
A. G. Lund	1880.3	2	0.5	18.10
Poulk (Renz)	1914.1	3	3.3	17.90

Положения приведены к системе В. J. ¹⁾; постоянная прецессии—Струве. Веса взяты из таблицы Auwers'a (A. N. 3615—16) при чем для Arm₂ принят приближенный вес 1.0, а для наблюдений Ф. Ф. Ренца, вес 3.3, как для каталога 1885 г. В результате получились для собственного движения μ_0 и прямого восхождения α_0 и их средних ошибок следующие числа:

$$\begin{aligned}\mu_0 &= -0.0068 \pm 0.0004; \\ \alpha_0 &= 13^h 44^m 18^s.19 \pm 0.012.\end{aligned}$$

Пулково, апрель 1919 г.

Résumé. Le mouvement propre de l'étoile A. G. Lund 5899 a été déterminé d'après les catalogues: Jarn., Par₂, Par₃, Arm₂ et A. G. Lund, dont les données ont été combinées avec trois observations, que M. Renz a eu l'amabilité de faire au grand instrument des passages. La constante de précession adoptée est celle de Struve.

On a obtenu pour le mouvement propre μ_0 et l' α_0 pour 1875.0, ainsi que pour leurs erreurs moyennes les résultats suivants:

$$\begin{aligned}\mu_0 &= -0.0068 \pm 0.0004; \\ \alpha_0 &= 13^h 44^m 18^s.19 \pm 0.012\end{aligned}$$

Poulkovo, avril 1919.

¹⁾ Ergänzungshefte zu d. A. N. № 7 и A. N. № 3642—43—44.